

## Список литературы

- [1] *Foreman J.E., Makin M.J.* // *Phil. Mag.* 1966. Vol. 14. P. 911-924.
- [2] *Кирсанов В.В., Тюпкина О.Г.* // *ЖТФ.* 1983. Т. 53. Вып. 3. С. 518-523.
- [3] *Белан В.И., Ландау А.И.* // *Металлофизика.* 1986. Т. 8. № 2. С. 103-108.
- [4] *Зайцев С.И., Надгорный Э.М.* // *ФТТ.* 1973. Т. 15. Вып. 9. С. 2669-2675.
- [5] *Kirsanov V.V., Pyatiletov Yu.S., Tyurkina O.G.* // *Phys. Stat. Sol. (a).* 1981. Vol. 64. P. 735-740.
- [6] *Ibragimov Sh.Sh., Kamshilin D.V., Pyatiletov Yu.S., Tyurkina O.G.* // *J. Nucl. Mat.* 1989. Vol. 161. P. 102-107.
- [7] *Кирсанов В.В., Тюпкина О.Г.* // *ФММ.* 1989. Т. 67. № 2. С. 233-239.
- [8] *Altintas S., Morris Jr. J.W.* // *Acta Met.* 1986. Vol. 34. N 5. P. 801-816.
- [9] *Смирнов Б.И.* Дислокационная структура и упрочнение кристаллов. Л.: Наука, 1981. 235 с.
- [10] *Тюпкина О.Г., Камшилин Д.В.* Препринт ИЯФ. № 2-90. Алма-Ата, 1990. 24 с.
- [11] *Тюпкина О.Г.* // *Письма в ЖТФ.* 1991. Т. 17. Вып. 1. С. 68-72.
- [12] *Дж.Хирт, И.Лоте.* Теория дислокаций. М.: Атомиздат, 1972. 600 с.
- [13] *Владимиров В.И.* Физическая природа разрушения металлов. М.: Металлургия, 1984. 280 с.
- [14] *Vason D.J., Kocks U.F., Scattergood R.O.* // *Phil. Mag.* 1973. Vol. 28. N 6. P. 1271.
- [15] *Белан В.И., Ландау А.И., Улановский А.М.* Препринт ФТИНТ. № 1-89. Харьков, 1989. 24 с.

Институт ядерной физики  
Алма-Ата

Поступило в Редакцию  
15 декабря 1991 г.  
В окончательной редакции  
27 июля 1992 г.

06

©1993 г.

## НЕУСТОЙЧИВОСТИ ПОПЕРЕЧНЫХ МОД В ПОЛУПРОВОДНИКОВОМ ИНТЕРФЕРОМЕТРЕ ФАБРИ–ПЕРО

*Ю.И.Балкарей, М.Г.Евтихов, А.С.Коган*

Теоретически исследуется стабильность поперечных флуктуаций в полупроводниковом интерферометре Фабри–Перо с концентрационным механизмом оптической нелинейности. При учете пространственно-временной динамики среды найдены условия возникновения неустойчивостей относительно статических расслоений и возбуждения поперечных волн огибающей поля и концентрации. Численно промоделированы некоторые нелинейные структуры, формирующиеся при развитии неустойчивостей.

### Введение

В работе [1] в широкоапертурном интерферометре Фабри–Перо с безынерционной нелинейной средой предсказана неустойчивость относительно поперечного пространственного расслоения поля типа мелкомаштабной самофокусировки, аналогичная хорошо известной неустойчивости Тьюринга в химической кинетике [2]. Характерной особенностью неустойчивости, рассмотренной в [1], является возникновение при изменении параметров, в частности внешней накачки, аperiodически нарастающей по амплитуде неподвижной квазигармонической по пространству структуры огибающей поля. Модель, которая использовалась в [1], описывает усредненные по оптической частоте  $\omega_0$  и оптической длине волны  $\lambda_0$  поля одной продольной моды интерферометра и примыкающей к ней близкой группы поперечных мод, среди которых могут оказаться неустойчивые.

Цель данной работы — исследование устойчивости поперечных мод интерферометра в рамках аналогичной модели при учете динамических свойств среды. Речь идет о полупроводниковом интерферометре Фабри–Перо, в котором оптическая нелинейность определяется концентрацией возбужденных светом электронов (дырок) и учитывается время жизни частиц, а также их диффузия. Усложнение модели приводит при исследовании устойчивости однородного стационарного состояния интерферометра к более сложному по сравнению с [1] дисперсионному

уравнению для поперечных флуктуаций. Его анализ позволяет предсказать осцилляторные переходные процессы формирования структур, а также существование установившихся структур с амплитудой, осциллирующей во времени. Характерные частоты осцилляций определяются параметрами среды и резонатора. Рассматриваются также особенности отклика интерферометра на локальное возмущение, когда интерферометр находится вблизи порога неустойчивости относительно расслоения.

### Модель

Модель полупроводникового интерферометра с апертурой, протяженной вдоль поперечной оси  $x$ , имеет вид

$$i \frac{\partial E}{\partial t} + \frac{1}{2} i \gamma E - (\Delta - \kappa N) E + \frac{c}{2k_0} \frac{\partial^2 E}{\partial x^2} = \nu F, \quad (1)$$

$$\frac{\partial N}{\partial t} = -\frac{N}{\tau} + \alpha |E|^2 + D \frac{\partial^2 N}{\partial x^2}. \quad (2)$$

Здесь  $E$  — поле внутри интерферометра, усредненное по оптической частоте и длине волны. Если отбросить член с  $\partial^2 E / \partial x^2$ , то уравнение (1) описывает одну продольную моду резонатора вдоль оси  $z$ . Величина  $\gamma$  характеризует затухание в резонаторе;  $\Delta$  — расстройка, разность частот внешней накачки и собственной частоты моды  $\omega_0$ ; член  $\kappa N$  (для определенности считаем, что  $\kappa > 0$ ) характеризует сдвиг частоты  $\omega_0$  за счет изменения показателя преломления полупроводника при накачке свободных носителей заряда с концентрацией  $N$ ; член  $(c/(2k_0))(\partial^2 E / \partial x^2)$  в параболическом уравнении учитывает дифракционные эффекты при возникновении неоднородности в поперечном направлении;  $c$  — скорость света в полупроводнике;  $k_0 = 2\pi\lambda_0^{-1}$  — волновое число продольной моды; член  $\nu F$  учитывает внешнюю накачку;  $\nu = c(2d)^{-1}$ , где  $d$  — размер интерферометра в продольном направлении;  $\tau$  — время жизни квазичастиц;  $\alpha$  — коэффициент поглощения (в обратных секундах);  $D$  — коэффициент амбиполярной диффузии. Поле  $E$  нормировано так, что  $|E|^2$  дает плотность фотонов.

Уравнением (1) можно пользоваться, если расстояние между продольными модами  $\Delta\omega = 2\pi cd^{-1} \gg \gamma \sim \Delta$ , для описания процессов с временными масштабами  $\Delta t \gtrsim \gamma^{-1} \sim \Delta^{-1} \gg \omega_0^{-1}$  и пространственными масштабами  $\Delta x \gtrsim L_E \gg \lambda_0$ , где  $L_E = (c/k_0\gamma)^{1/2}$  — характерная дифракционная длина. Соответствующая диффузионная длина  $L_N = (D\tau)^{1/2}$  может быть как меньше, так и больше  $L_E$  в зависимости от выбора материала интерферометра и параметров резонатора.

### Неустойчивости поперечных мод

Однородные стационарные состояния интерферометра определяются уравнениями

$$|E_c|^2 = \frac{\nu F}{(\gamma/2)^2 + (\Delta - \kappa N_c)^2} \quad (3)$$

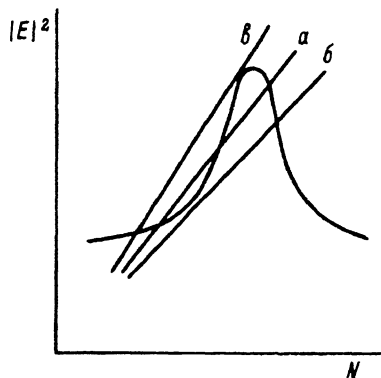


Рис. 1. Качественно различные ситуации, возникающие при решении уравнения (3), (4).

$$N_c = \alpha\tau|E_c|^2, \quad (4)$$

следующими из (1), (2).

На рис. 1, *a*-*в* качественно показаны различные случаи, которые встречаются при графическом решении уравнений (3), (4) в зависимости от выбора параметров. В эксперименте легче всего изменять параметры  $F$  и  $\Delta$ . Триггерная ситуация (рис. 1, *a*) не реализуется ни при каких  $F$ , если  $\Delta < (\sqrt{3}/2)\gamma$ .

Линеаризуем систему (1), (2) вблизи какого-нибудь стационарного состояния  $(E_c, N_c)$ , полагая

$$\begin{aligned} E &= E_c + \tilde{E} \equiv (\varphi_c + i\psi_c) + (\varphi + i\psi), \\ N &= N_c + \tilde{N}. \end{aligned} \quad (5)$$

Для малых флуктуаций  $\varphi, \psi, \tilde{N}$  получаем уравнения

$$\begin{aligned} \frac{\partial\varphi}{\partial t} &= -\frac{1}{2}\gamma\varphi - (\kappa N_c - \Delta)\psi - \kappa\psi_c\tilde{N} - \frac{c}{2k_0}\frac{\partial^2\psi}{\partial x^2}, \\ \frac{\partial\psi}{\partial t} &= -\frac{1}{2}\gamma\psi + (\kappa N_c - \Delta)\varphi + \kappa\varphi_c\tilde{N} + \frac{c}{2k_0}\frac{\partial^2\varphi}{\partial x^2}, \\ \frac{\partial\tilde{N}}{\partial t} &= -\frac{\tilde{N}}{\tau} + 2\alpha\varphi_c\varphi + 2\alpha\psi_c\psi + D\frac{\partial^2\tilde{N}}{\partial x^2}. \end{aligned} \quad (6)$$

Выбирая  $\varphi, \psi, \tilde{N}$  в виде, пропорциональном  $\exp(\omega t + ikx)$ , находим дисперсионное уравнение

$$\begin{aligned} \omega^3 + \omega^2[\gamma + \tau^{-1}(1 + L_N^2 k^2)] + \omega\left[\frac{1}{4}\gamma^2 + \gamma\tau^{-1}(1 + L_N^2 k^2) + \right. \\ \left. + (\alpha\tau\kappa|E_c|^2 - \Delta - \frac{1}{2}\gamma L_E^2 k^2)^2\right] + \tau^{-1}\left[\frac{1}{4}\gamma^2(1 + L_N^2 k^2) + \right. \\ \left. + 2\alpha\tau\kappa|E_c|^2(\alpha\tau\kappa|E_c|^2 - \Delta - \frac{1}{2}\gamma L_E^2 k^2) + \right. \end{aligned}$$

$$\left. + (\alpha \tau \kappa |E_c|^2 - \Delta - \frac{1}{2} \gamma L_E^2 k^2)^2 (1 + L_N^2 k^2) \right] = 0. \quad (7)$$

Уравнение (7) определяет комплексные частоты  $\omega = \omega' + i\omega''$ . Оно имеет одну действительную ветвь решений  $\omega_1 = \omega'_1(k)$  и две комплексно-сопряженные волновые ветви  $\omega_2 = \omega'_2(k) \pm i\omega''_2(k)$ . Качественно различающиеся виды этих ветвей флуктуаций при разном выборе параметров представлены на рис. 2 для стационарных состояний, расположенных правее максимума на рис. 1. Конкретные соотношения параметров указаны в подписях к рисункам. На графиках  $\omega'_{1,2}(k)$  кривые  $\omega'_1(k)$  показаны сплошной линией, а кривые  $\omega'_2(k)$  — штриховой. Подчеркнем, что  $k$  является поперечным волновым вектором и решения в силу выбора модели имеют смысл при  $k \ll k_0$ , где  $k_0$  — волновое число продольной моды.

Ситуация, представленная на рис. 2,а, характерна для неустойчивости Тьюринговского типа и аналогична рассмотренной в [1]. Имеется набор параметров, при котором кривая  $\omega'_1(k)$  своим максимумом ( $k = k_{M1}$ ) касается оси абсцисс или слегка заходит в область, где  $\omega'_1(k_{M1}) > 0$ . Такой вид кривой  $\omega'_1(k)$  отвечает неустойчивости относительно нарастания флуктуаций с  $k \sim k_{M1}$ . При этом комплексно-сопряженные ветви  $\omega_2(k)$  являются затухающими. Неустойчивые флуктуации нарастают экспоненциально в виде гармонической в пространстве структуры, которая должна стабилизироваться нелинейными процессами. С усилением неравенства  $\omega'_1(k) > 0$  при изменении параметров интервал неустойчивых волновых чисел  $k_{(1)} - k_{(2)}$  растет и структура становится сперва квазигармонической, а затем должна приобретать вид периодически расположенных пространственных пучков, отвечающих формированию самофокусирующихся нитей.

На рис. 2,б представлена ситуация, когда ветвь  $\omega'_k(k)$  имеет интервал неустойчивости  $k_{(1)} - k_{(2)}$ , а ветвь  $\omega_2(k)$  при некоторых  $k \approx k_{M2}$  имеет слабое затухание  $\omega''_2(k) \rightarrow 0$ , причем  $\omega''_2(k) \neq 0$ . В этом случае при формировании структуры из какого-нибудь неоднородного начального условия на фоне растущей структуры могут существовать слабо затухающие волновые движения. Когда же  $\omega'_1(k_{M1}) > 0$  и  $\omega'_2(k_{M2}) > 0$  (рис. 2,в), то возможно сосуществование расслоения и волн в установившемся режиме. В ситуации, представленной на рис. 2,г, неустойчивыми оказываются и волновые числа  $k \rightarrow 0$  ( $\omega'_2(0) > 0$ ), т.е. возможно сосуществование однородных колебаний, волн и расслоения.

В триггерном случае (рис. 1, а) нижнее по  $|E|^2$  состояние всегда устойчиво. Такое же утверждение относится к моностационарным случаям, когда точка  $(E_c, N_c)$  расположена левее максимума на рис. 1.

Существенную роль в поведении рассматриваемой системы играет параметр  $\beta = (L_N/L_E)^2$ . На рис. 3,а-в показано изменение кривых  $\omega'_1(k)$  и  $\omega'_2(k)$  с ростом этого параметра. Ширина области неустойчивости  $k_{(1)} - k_{(2)}$ , а также величина  $\omega'_1(k_{M1})$  в этой области уменьшаются, причем точка  $k_{(1)}$  практически неподвижна. Далее с ростом параметра  $\beta$  после серии бифуркаций возникает ситуация, показанная на рис. 3,в. Здесь имеется область волновых чисел, в которой дисперсионное уравнение (7) обладает тремя действительными решениями. Таким образом, диффузия

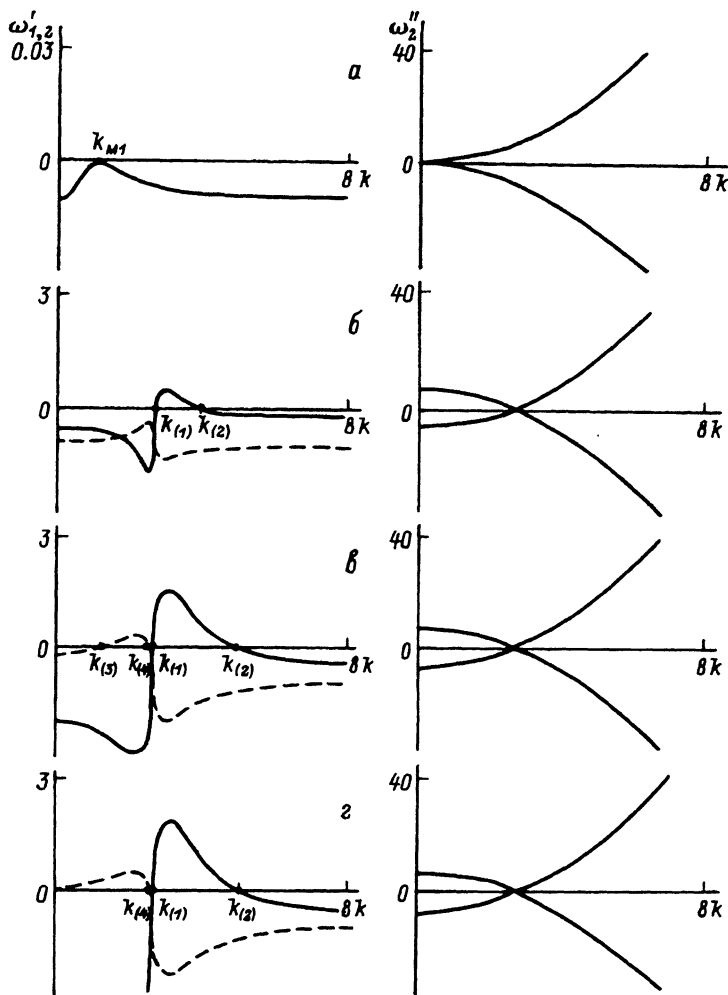


Рис. 2. Характерный вид решений дисперсионного уравнения (7) при различном выборе параметров.

*a* —  $\Delta = -\gamma$ ,  $\delta \equiv \nu F / \gamma ((\alpha \tau \kappa) / \gamma)^{1/2} = 7.64$ ,  $L_N = 0.22 L_E$ ,  $\tau = 200 \gamma^{-1}$ ; *б* —  $\Delta = -1/2\gamma$ ,  $\delta = 56.5$ ,  $L_N = 1.9 \cdot 10^{-2} L_E$ ,  $\tau = 14 \gamma^{-1}$ ; *в* —  $\Delta = -1/2\gamma$ ,  $\delta = 56.5$ ,  $L_N = 8.6 \cdot 10^{-3} L_E$ ,  $\tau = 3 \gamma^{-1}$ ; *г* —  $\Delta = 1/2\gamma$ ;  $\delta = 56.5$ ;  $L_N = 7 \cdot 10^{-3} L_E$ ,  $\tau = 2 \gamma^{-1}$ . Здесь и далее  $\omega$  измеряется в единицах  $1/2\gamma$ ,  $k$  — в единицах  $\sqrt{2} L_E^{-1}$ .

существенно влияет на характеристики самофокусирующей неустойчивости.

В ограниченной по  $x$  системе поперечные волновые числа  $k$  становятся дискретными. Обычно граничные условия в рассматриваемой задаче о поперечных модах для огибающих оптического поля  $E$  и концентрации  $N$  выбираются в виде нулевых производных на границах апертуры [1], а возбуждения ищутся в виде разложения по  $\cos(k_n x)$ , где  $k_n = (\pi n) / \mathcal{L}$  ( $n = 0, 1, 2, \dots$ ),  $\mathcal{L}$  — размер системы по оси  $x$ . Решения с  $n = 0$  удовлетворяют граничным условиям и существуют при любых  $\mathcal{L}$ . Если в область

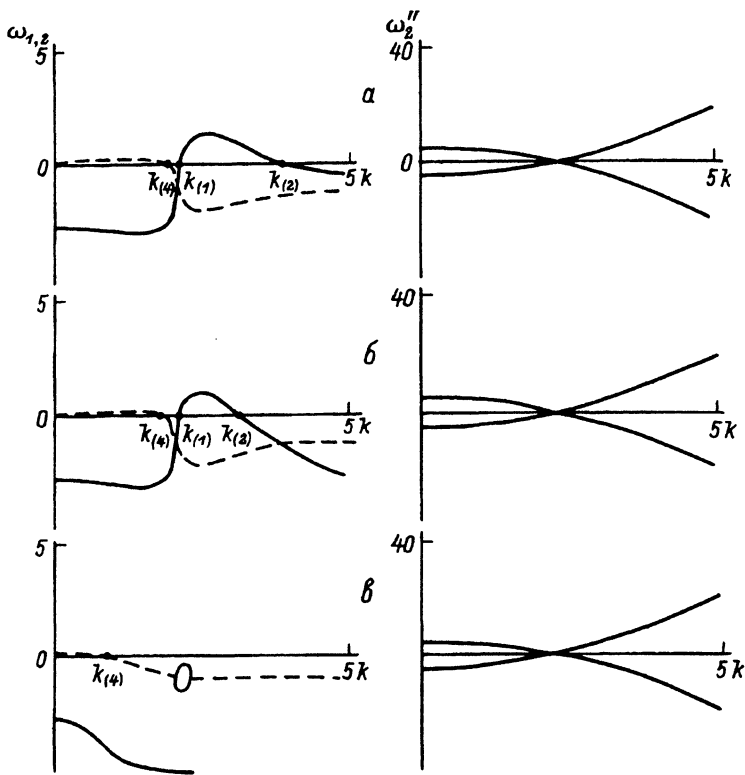


Рис. 3. Характерный вид решений дисперсионного уравнения (7) при разных значениях параметров  $\beta = (L_N/L_E)^2$ .

$\beta$ : а — 0, б —  $5 \cdot 10^{-2}$ , в — 1;  $\Delta = -1/2\gamma$ ,  $\delta = 28$ ,  $\tau = 2\gamma^{-1}$ .

неустойчивости на рис. 2,а не попадает ни одно из волновых чисел  $k_n$ , то расслоение не возникает. При одних и тех же параметрах с ростом апертуры возможны перестройки структуры при изменении числа мод  $k_n$ , входящих в область неустойчивости  $k_{(1)}-k_{(2)}$ , смена режима статического расслоения на расслоение с колебаниями или просто колебательные режимы, когда в область  $k_{(1)}-k_{(2)}$  не попадает ни одно из  $k_n$ , а в область  $k_{(3)}-k_{(4)}$  какие-то  $k_n$  попадают. Такие же перестройки режимов должны происходить и при изменении других параметров, например  $\Delta$  и  $F$ , при фиксированном значении  $\mathcal{L}$ .

На рис. 4 приведен результат расчета нелинейной ситуации, когда линейный анализ показывает, что возбуждается однородная колебательная мода с  $\omega'_2(0) > 0$ ,  $\omega''_2(0) \neq 0$  и одна неоднородная неколебательная мода с  $k = k_1$  ( $k_{(1)} < k_1 < k_{(2)}$ ) и  $\omega'_1(k_1) > 0$ . Решение в виде

$$E = E_0(t) + E_1(t) \cos(k_1 x); \quad N = N_0(t) + N_1(t) \cos(k_1 x) \quad (8)$$

подставляется в уравнения (1), (2) и находятся уравнения для  $E_0(t)$ ,  $E_1(t)$ ,  $N_0(t)$ ,  $N_1(t)$ , которые затем решаются численно. Возникающие вследствие нелинейности исходных уравнений высшие пространственные гар-

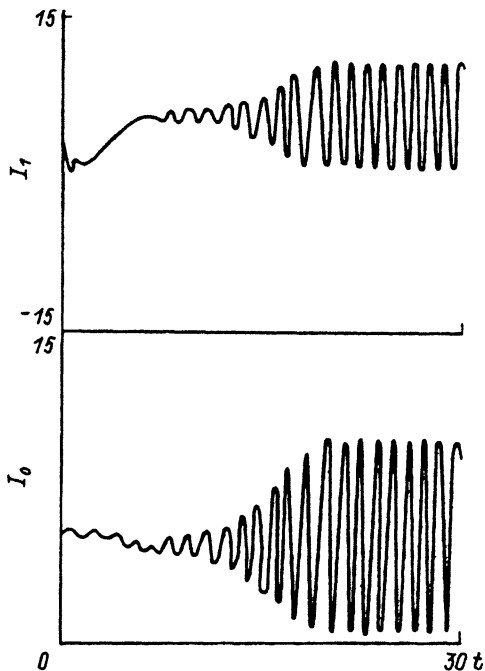


Рис. 4. Временные зависимости интенсивностей  $I_0$  однородной ( $k=0$ ) и  $I_1$  неоднородной ( $k_{(1)} < k_1 < k_{(2)}$ ) мод в условиях, когда обе моды в линейном приближении неустойчивы.

$\Delta = -0.6\gamma$ ,  $\delta = 28$ ,  $L_N = 7 \cdot 10^{-2} L_E$ ,  
 $\tau = 2\gamma^{-1}$ ,  $L = 0.7 L_E$ ;  $I_0$  и  $I_1$  измеряются  
 в единицах  $1/2\gamma(\alpha\tau\kappa)^{-1}$ , время —  $2\gamma^{-1}$ .

моники, волновые числа которых оказываются вне интервала неустойчивости, отбрасываются. На рис. 4 показаны интенсивности нулевой

$$I_0 = |E_0|^2 + \frac{1}{2}|E_1|^2$$

и первой

$$I_1 = E_0^* E_1 + E_0 E_1^*$$

пространственных гармоник, которые совершают незатухающие колебания вследствие колебательной неустойчивости моды с  $k=0$ . Справедливость двухмодового расчёта подтверждается прямым моделированием системы (1), (2).

На рис. 5 представлен результат прямого моделирования уравнений (1), (2) в случае, когда одно из  $k_n$ , а именно  $k_2 = (2\pi)/L$  попадает в интервал неустойчивости  $k_{(1)}-k_{(2)}$ . При этом волновое число  $k_1 = \pi/L$  попадает в область вблизи  $k_{M2}$ , но  $\omega'_2(k_{M2}) < 0$ , а также  $\omega'_2(0) < 0$ . Начально возмущение таково, что формируется стоячая волна с  $k=k_1$ , которая, однако, быстро затухает, и вместо нее формируется неподвижная концентрационно-полевая структура, отвечающая возбуждению моды с  $k=k_2$ .

На рис. 6 приведен вид структуры, формирующейся при накачке  $F + \Delta F(x)$ , где  $F$  — однородный фон, а  $\Delta F(x)$  — дополнительный гауссов пучок, показанный штриховой кривой на рис. 6,в. Фоновая накачка отвечает устойчивой ситуации, но в области, где имеется гауссов пучок, реализуется неустойчивость относительно расслоения.



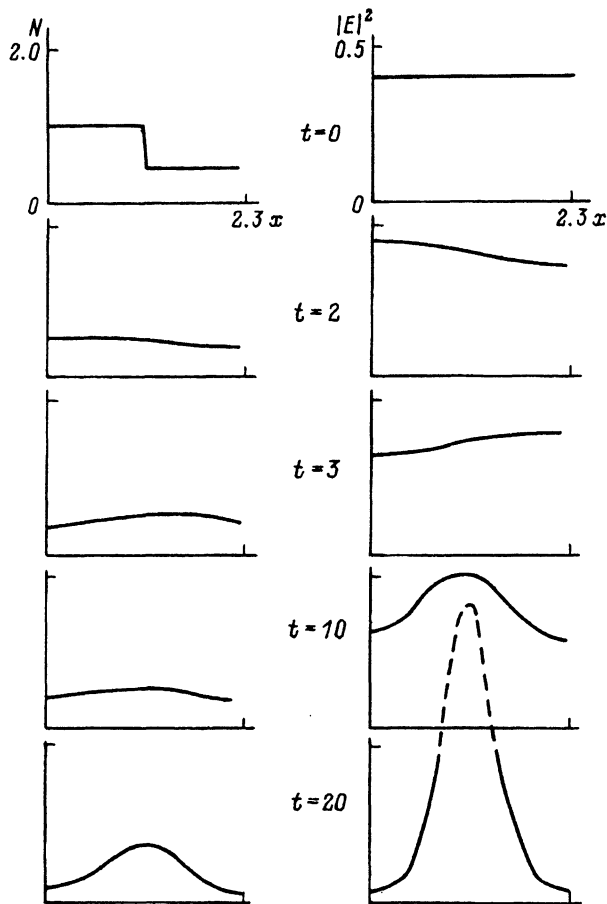


Рис. 5. Немонотонный процесс формирования стационарной структуры с  $k_{(1)} < k_{(2)}$ .

Начальное возмущение сначала возбуждает затухающую стоячую волну с  $k = k_1$ , которая трансформируется в застояющую структуру;  $\Delta = 0$ ,  $\delta = 20$ ,  $L_N = 1.5 \cdot 10^{-1} L_E$ ,  $\tau = \gamma^{-1}$ ,  $L = 0.9 L_E$ .

Возможность однородных автоколебаний интенсивности поля  $|E|^2$  и концентрации  $N$  внутри интерферометра за счет неустойчивости при  $k = 0$  предсказана в работе [3]. На пороге возникновения таких колебаний, когда  $\omega'_2(0) = 0$ , легко найти их частоту  $\omega''_2(0)$ , используя (7),

$$\omega''_2(0) = \left[ \frac{1}{4} \gamma^2 + \gamma \tau^{-1} + (\alpha \tau \kappa |E_c|^2 - \Delta)^2 \right]^{1/2}. \quad (9)$$

Такие колебания возможны вокруг однородных стационарных состояний, расположенных правее максимума на рис. 1, если подсветка превышает критическую

$$F^2 > F_{\text{кр}}^2 = \nu^{-2} \gamma (\alpha \kappa)^{-1} \left( \frac{1}{2} \gamma + \tau^{-1} \right) \left\{ \frac{1}{4} \gamma^2 + \left[ \gamma \tau \left( \frac{1}{2} \gamma + \tau^{-1} \right) - \Delta \right]^2 \right\}. \quad (10)$$

Из (7) также легко определить поведение ветвей  $\omega_1(k)$  и  $\omega_2(k)$  при больших  $k \gtrsim L_N^{-1}$ ,  $L_E^{-1}$

$$\omega'_1 \rightarrow -\tau^{-1} L_N^2 k^2, \quad (11)$$

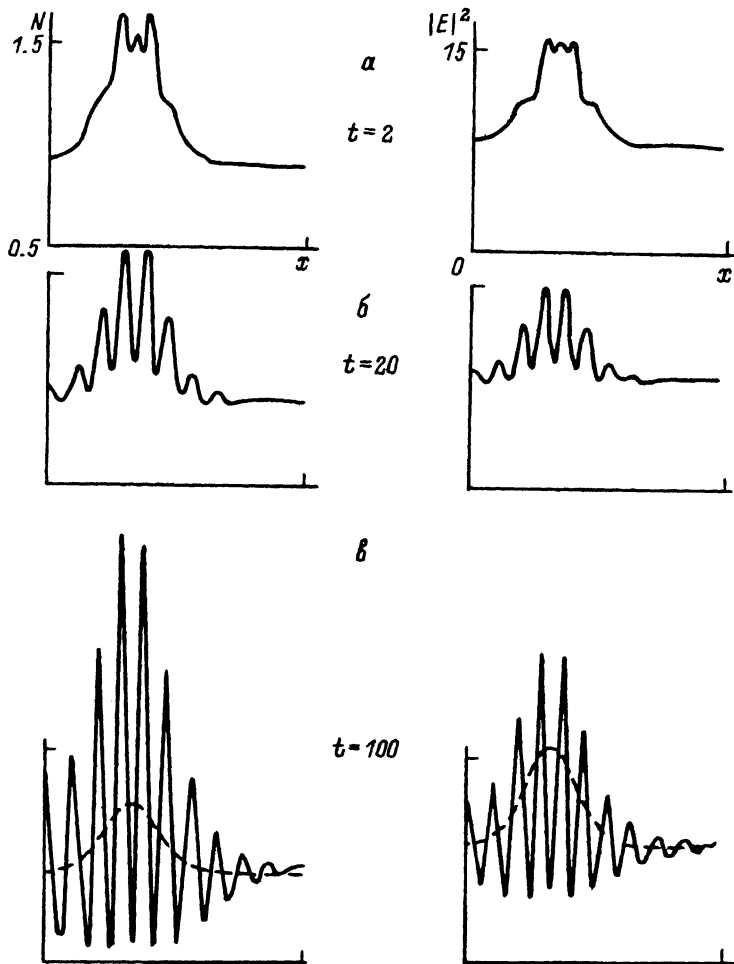


Рис. 6. Неоднородная структура в гауссовом пучке.

Подсветка выбрана в виде  $F = F_0(1 + A \exp[-1/2((x - x_0)/\sigma)^2])$ . Однородная часть  $F_0$  отвечает ситуации устойчивой относительно расфокусировки. В области дополнительной подсветки в виде гауссова пучка интерферометр становится неустойчивым и формируется мелкомасштабное расфокусирование.  $\Delta = 0$ ,  $\delta = 3.68$ ,  $L_N = 2.3 \cdot 10^{-2} L_E$ ,  $\tau = 0.6\gamma^{-1}$ ,  $\mathcal{L} = 32L_E$ ,  $x_0 = 10L_E$ ,  $\sigma = 3.5L_E$ ,  $A = 0.5$ .

$$\omega_2 \rightarrow \frac{1}{2}\gamma(-1 \pm iL_E^2 k^2). \quad (12)$$

Приведем также выражения для интервалов неустойчивости  $k_{(1)} - k_{(2)}$  и  $k_{(3)} - k_{(4)}$ , полученные в пределе  $L_N \rightarrow 0$ ,

$$(\Delta k_{(1),(2)})^2 = \left(\frac{c}{2k_0}\right)^{-1} \left\{ [2(\alpha\tau\kappa)|E_c|^2 - \Delta] \pm \left[ (\alpha\tau\kappa)^2 |E_c|^4 - \frac{1}{4}\gamma^2 \right]^{1/2} \right\}, \quad (13)$$

$$(\Delta k_{(3),(4)})^2 = \left(\frac{c}{2k_0}\right)^{-1} \left\{ 2(\alpha\tau\kappa)|E_c|^2[1 - (\gamma\tau)^{-1}] - \Delta \pm 2(\gamma\tau)^{-1} \left[ (\alpha\tau\kappa)^2|E_c|^4 - \right. \right. \\ \left. \left. - \gamma^2 \left(\frac{1}{2}\gamma\tau + 1\right)^2 \right]^{1/2} \right\}. \quad (14)$$

### Заключение

Учет динамики среды при анализе свойств полупроводникового интерферометра Фабри–Перо показывает, что рассмотренная в [1] неустойчивость Тьюринговского типа относительно пространственного периодического расслоения поля типа мелкомасштабной самофокусировки сохраняется, но появляются новые эффекты. На фоне возникающего расслоения возможны однородные и неоднородные затухающие или нарастающие флуктуации поперечных мод колебательного и волнового типов. В нелинейном режиме рост флуктуаций указанных мод может приводить к сосуществованию статических расслоений, волн и однородных колебаний конечной амплитуды. Возможны также чисто волновые режимы. При фиксированных параметрах проявление неустойчивости существенно зависит от величины апертуры интерферометра. Ширина области неустойчивости относительно расслоения уменьшается с увеличением параметра  $L_N/L_E$ . Указанные эффекты могут иметь место как в бистабильном, так и в моностабильном однородных случаях. Рассмотренные неустойчивости могут оказывать существенное влияние на работу оптических устройств, использующих нелинейные полупроводниковые интерферометры.

### Список литературы

- [1] *Lugiato L.A., Lefever R.* // Phys. Rev. Lett. 1987. Vol. 58. N 21. P. 2209–2211.
- [2] *Turing A.M.* // Proc. Roy. Soc. B. 1952. Vol. 237. N 1286. P. 37–71.
- [3] *Goldstone J.A., Garmire E.M.* // IEEE J. Quant. Electron. 1981. Vol. QE-17. N 3. P. 366–374.

Институт радиотехники и электроники  
Фрязинская часть

Поступило в Редакцию  
17 июня 1991 г.